

愛知工大・工 (正) 正木和明
(学) 坪井利弘
(正) 飯田汲事

1.序 将来起るであろう巨大地震に対する防災対策の必要性が叫ばれてゐる。しかし、防災対策を講ずる際不可欠な地盤の地震時挙動に関する調査研究は十分であるとは言い難い。特に地盤の動的挙動を把握する際必要な地盤定数に関するデータは不足している。本文は、名古屋地盤の諸定数に関する測定調査およびそれらの結果の解析について報告するものである。

2.測定方法 深さ30m~80mのボーリング孔を掘削し、各層の地層年代(沖積、洪積、オホリ紀)、土質区分(砂、シルト、粘土、砂礫)を行なうとともにN値を測定した。また、N値測定時に採取されるコア単体の体積と重量より単位体積重量 S を求めて。掘削後、孔中換振器(OYO型3320)を挿入し、板叩き法によってPS換層を実施し、S波速度を求めて。この際得られる各深度での伝播S波速度振巾より減衰係数 α および減衰項Q値を求めて。

測定は名古屋市および周辺部15地点において実施した。他の機関による24地点と合わせて計39地点での測定結果が得られた。

3.単位体積重量 39地点各深度(2mごと、ただし欠落しているところもある)での単位体積重量 $S(\text{g/cm}^3)$ 、556個が得られた。図2に頻度分布を示す。今回用いた方法による S と α - δ 吸収による密度換層法による S との比較を図3に示す。前者の方が $\sim 20\%$ 大きいが、これはN値測定時に圧密されたコアを用いた為と思われる。

4. S波速度 得られたS波速度の頻度を図4に示す。また、地表でのS波速度および深度別のS波速度の分布を

図5、6に各々示す。図5より、地表のS波速度は名古屋市の北東部で速く、西部で遅い。

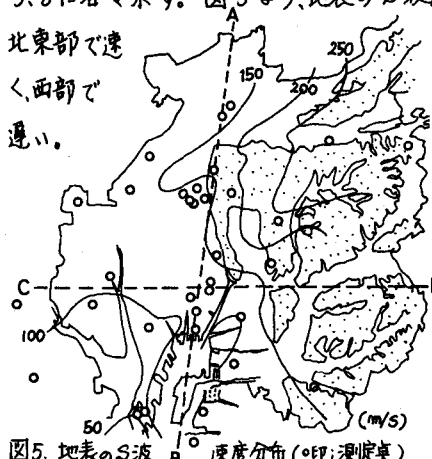


図5. 地表のS波速度分布 (印:測定点)

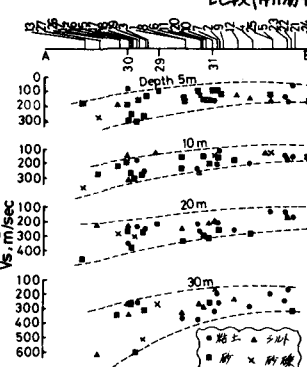


図6. 深度別、地質別S波速度 (AB, CDは図5の断面線を示す)

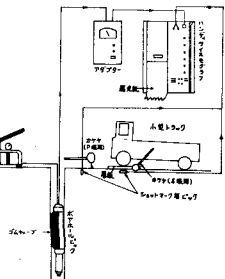


図1. PS換層実施方法

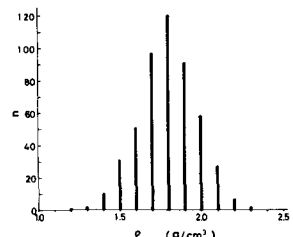


図2. 単位体積重量の頻度

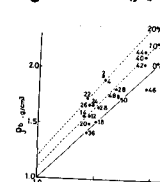


図3. コア単体による S と V_s 法による S の比較(南陽中寺)

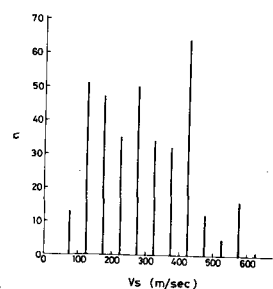
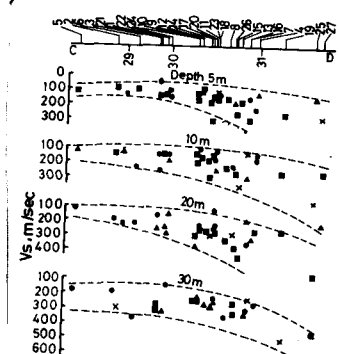


図4. S波速度の頻度



特に、南西部では100%と非常に遅いことがわかる。一方、図6より、同一深度でみた場合、市の南西部ではS波速度が遅い。即ち、市の南西部では低速度の地層が厚く堆積していることを示している。

5. Q値 孔中換振器は深度2mごとに移動され、地表で発生したS波の伝播振動を受振する。従って、2mごとに得られた振動振幅(最大速度振幅)と深度との関係から減衰係数 α を求めることができる。図7は一例であり、振幅Y(任意スケール)は

$$Y(z) = r_0 e^{-\alpha z} \quad \alpha: \text{減衰係数} \quad z: \text{深度(m)}$$

で表わされる。波の振動数(ここでは30Hz), S波速度 C を用いて $Q = \frac{\pi f}{\alpha C}$ よりQ値を得る。5地盤において得られたQ値を表1に示す。

6. S波速度、単位体積重量の推定式 38地盤においてS波速度 V_s 、単位体積重量 γ が得られたが、地盤構造は数百米のオーダーで異なることを考慮すると、もっと細かい分布が知りたい。そこで数多くの地盤で得られているボーリングデータから V_s, γ を推定する式を求めて。38地盤のデータを整理し次の回帰式を得た。

$$V_s'(\text{m/sec}) = 98.0N^{0.170} H^{0.104} \quad \begin{matrix} 1.000 \\ 1.000 \end{matrix}, \quad \gamma'(\text{g/cm}^3) = 1.695 N^{0.027} H^{-0.018} \quad \begin{matrix} 1.000 \\ 1.000 \end{matrix}$$

1.292	0.871
1.659	0.840
E	0.984
F	1.122

ここに H は深度、 N は N 値であり、 E は地層年代(上より、沖積層、洪積層、オホミ紀層) F は土質区分(上より、粘土、シルト、砂、砂礫)を数量化した値である。即ち、ある地盤での V_s, γ は4つの指標(深度、 N 値、地層年代、土質区分)が与えられれば上式の4つの項の積として求めることができます。

上式から得られた推定 V_s' と実測 V_s, γ との相関は図8.9の如くであり、相関係数はそれぞれ0.89, 0.67である。また、千音寺小にあける V_s' と V_s, γ との比較を図10に示す。

7. Q値の推定 Q値とS波速度 V_s との関係を図11に示す。ばらつきが大きいが、この関係よりS波速度からQ値を推定することができよう。今後、データを増やす必要がある。

8.まとめ 以上の要約は次のとおりである。表1

- 1) 名古屋地盤の単位体積重量、S波速度、減衰係数Q値を求めた。
- 2) ボーリングデータ(深度、 N 値、地層年代、土質区分)から単位体積重量、S波速度を推定する式を求めた。
- 3) S波速度からQ値が推定できることを示した。
1. 銀山地名古屋地盤の地震波増幅率分布地
震危険度、名古屋市防災会議(昭和54年7月)
2. 正不透水孔S波速度測定から求めたQ値、物
探査会54年度秋季講習会講義、38(1979)

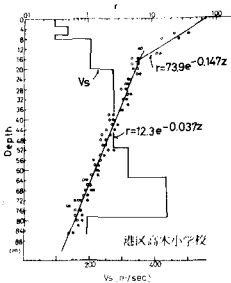


図7. 最大速度振幅Yと深度、S波速度Vsとの関係

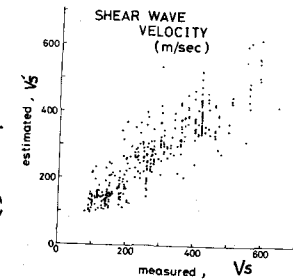


図8. 推定S波速度と実測S波速度

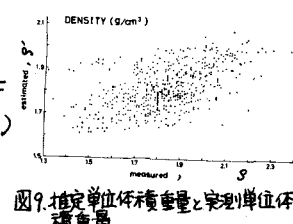


図9. 推定単位体積重量と実測単位体積重量

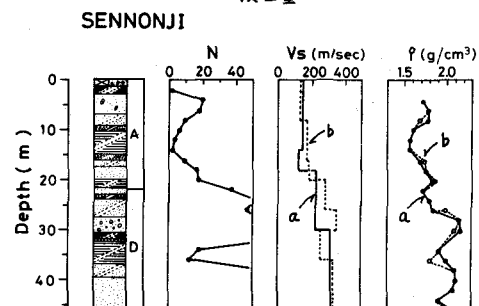


図10. 実測 V_s, γ (実線)と推定式から求めた V_s', γ' (虚線)

測定場所	深 度 (m)	減衰係数, α	S波速度, V_s (m/sec)	Q値
高木小学校	0~16	0.15	200	3.2
	16~85	0.04	300	8.5
ナリヤ公園	0~50	0.07	150	9.7
	50~100	0.02	300	15.7
千音寺小学校	0~27	0.15	150	4.3
	27~46	0.05	300	5.9
港北公園	0~12	0.35	130	2.1
	12~48	0.05	260	6.9
津賀田中	0~32	0.16	200	3.0

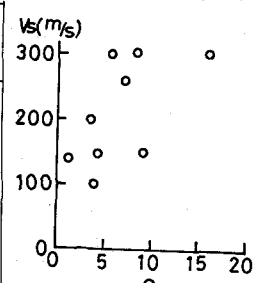


図11. 減衰係数Q値とS波速度Vsとの関係